

## 湾内流の数値シミュレーションに関する研究

岡山大学工学部 正員 名古 宏元  
 岡山大学工学部 正員 河原 長美  
 岡山県庁 正員 前野 詩朗

筆者らは、これまで児島湾水域を対象として、観測によって湾内の運動機構について検討を行なってきだが、観測面からのみ湾内の全体的な運動機構を把握することに困難をともなりもとである。以上二点を考慮して本報では、児島湾における全体的な運動機構を解明するための基礎として、1層2次元モデルを用いて観測結果を得られたデータとともに数値計算を行なへ、観測結果と計算結果との比較により、本計算法の妥当性について検討を加えたとともに、児島湾における流動特性について若干の考察を加えたものである。

### 1. 基礎式

$$\text{連続式} : \frac{\partial h}{\partial t} + \frac{\partial(hu)}{\partial x} + \frac{\partial(hv)}{\partial y} = 0 \quad \dots (1)$$

$$\begin{aligned} \text{運動方程式} : & \frac{\partial(hu)}{\partial t} + \frac{\partial(hu^2)}{\partial x} + \frac{\partial(huv)}{\partial y} + gh \frac{\partial z}{\partial x} - fhu - \frac{1}{\rho} (c_s^2 - c_b^2) - \frac{1}{\rho} \left\{ \frac{\partial(hAx)}{\partial x} + \frac{\partial(hAy)}{\partial y} \right\} \\ & \frac{\partial(hv)}{\partial t} + \frac{\partial(huv)}{\partial x} + \frac{\partial(hv^2)}{\partial y} + ghu - \frac{1}{\rho} (c_s^2 - c_b^2) - \frac{1}{\rho} \left\{ \frac{\partial(hAx)}{\partial x} + \frac{\partial(hAy)}{\partial y} \right\} \end{aligned} \quad \dots (2)$$

ここで、 $x$ ,  $y$ ,  $z$ : 水平面内下、東向き下  $x$  軸、北向き下  $y$  軸、海直上方に  $z$  軸となる。 $t$ : 時間、 $u$ ,  $v$ : それぞれ  $x$ ,  $y$  方向の平均流速、 $f$ : コリオリイ因子で  $f = 0.00008$  である。 $Ax$ ,  $Ay$ : 水平運動量分散係数、 $c_s$ ,  $c_b$ : ベニ断面力項については、次に示される表現を適用する。

$$c_s^2 = k_p W^2 \sin \psi, \quad c_b^2 = k_p W^2 \cos \psi \quad \dots (4)$$

$$c_s^2 = \rho \cdot R^2 \tan u^2 + v^2, \quad c_b^2 = \rho \cdot R^2 \tan u^2 + w^2 \quad \dots (5)$$

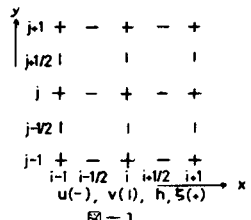
ここで、 $k_p$  は定数であり、水面および海底での抵抗係数  $W$ : 風速  $\psi$ :  $y$  軸と風向とのなす角度

### 2. 差分式

数値計算にあたっては、図-1 に示すかたち space-staggered-scheme 下の差分法を適用する。また、差分式の表示を簡潔にするため下記、式(6)～表記法を用いることとする。  
 式(4)～式(6)式(7)～式(9)および式(11)～式(13)はすべて差分化される。

$$\begin{aligned} F^x &= \frac{1}{2} \left\{ F[(i+1/2) \Delta x, j \Delta y, mat] + [(i-1/2) \Delta x, j \Delta y, mat] \right\} \\ JxF &= \frac{1}{\Delta x} \left\{ F[(i+1/2) \Delta x, j \Delta y, mat] - [(i-1/2) \Delta x, j \Delta y, mat] \right\} \end{aligned} \quad \dots (6)$$

$$F_{\pm} = F[(i \Delta x, j \Delta y, (m \pm 1) \Delta t)]$$



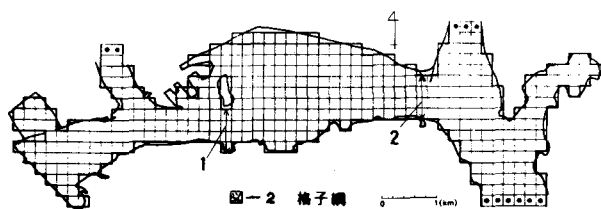
$$\text{連続式} : \frac{\partial h}{\partial t} = - \{ \delta_x(h^x u) + \delta_y(h^y v) \} \quad \text{at } i, j, n \quad \dots (7)$$

$$\begin{aligned} \text{運動方程式} : & \frac{\partial(h^x u)}{\partial t} = - \delta_x(\overline{h^x u^2}) - \delta_y(\overline{h^x u v}) + f \overline{h^x u^2} - g \overline{h^x} (\delta_x S_+) + (c_s^2 - c_b^2) \\ & + \frac{1}{\rho} \left[ \delta_x \{ \overline{h^x A_x} \delta_x u \}_- + \delta_y \{ \overline{h^x A_y} \delta_y u \}_- \right] \quad \text{at } i+1/2, j, n \end{aligned} \quad \dots (8)$$

$$\begin{aligned} \frac{\partial(h^y v)}{\partial t} &= - \delta_x(\overline{h^y u^2}) - \delta_y(\overline{h^y u v}) - f \overline{h^y u^2} - g \overline{h^y} (\delta_y S_+) + (T_{y+}^2 - T_{y-}^2) \\ & + \frac{1}{\rho} \left[ \delta_x \{ \overline{h^y A_x} \delta_x v \}_- + \delta_y \{ \overline{h^y A_y} \delta_y v \}_- \right] \quad \text{at } i, j+1/2, n \end{aligned} \quad \dots (9)$$

### 3. 初期条件および境界条件

図-2 に示すように、児島湾水域を  $\Delta x = \Delta y = 200 \text{ m}$  の格子網で分割し、印で示された部分を開境界とし、その他のすべて閉境界とした。初期条件としては、湾底での初期水位と水面全体の平均水位である。また、



境界条件として、湾口で内実測水位を与える。旭川、吉井川では、それぞれの河川の流域面積を持つため地盤を想定し、この境界において連続式(4)を適用して計算を進めるものとする。その他の計算条件として、 $\Delta t = 5$ 秒、抵抗係数 $\lambda = 0.0026$ 、 $R^2 = 0.00$ を与えた。河川流入量に関しては、向河川とも一律に  $10 \text{ m}^3/\text{s}$  とした。

#### 4. 計算結果および考察

3.で述べた計算条件を固定して、数值計算において重要な考え方から水平運動量拡散係数  $A_x, A_y$  の値を表-1下示の小なり値を対象として数值計算を行なった結果を図-3～図-5に示す。图より、旭川河口における実測水位と計算結果が图-3～图-5に示されている。これらより图より、CASE2で採用した  $A_x, A_y$  の値が適切であると推定される。なお、CASE4については、CASE2と場合とはほぼ一致している。图-6は、图-2下示される1,2の断面での流量変化を示したものである。图より、流量変化は潮汐による大きな流量変化と、それより小さな周期性をもつ変化とせりあり、非常に複雑であることが示されている。图-7は、前述の開境界すべて開境界として、風によるセイシニエ発生させた場合における断面上での流量変化を示したものである。图-6で示されたものと同様に周期航行とともに流量変化が発生することが示されている。图-8では、图-9に示すA地点における実測値の流速の鉛直分布が示されている。图-9は計算結果得られた流速分布図である。実測値による平均流速が  $30 \text{ cm/s}$  程度であると推定され、計算値による流速も  $30 \text{ cm/s}$  程度でありよく一致している。流向に関しても同様によく一致している。しかし、图-8と图-9で示されるように、流速は、鉛直方向に関してかなり変化しており、これらを取り扱うためには3次元的な取り扱いが必要となるところ。今後は、流れのみならず波数でも含めて、3次元的な取り扱いが行なえるようなモデルについて検討を進めていく予定である。

表-1

	$A_x (\times 10^5 \text{ cm}^2/\text{s})$	$A_y (\times 10^5 \text{ cm}^2/\text{s})$
CASE 1	0.1	0.05
CASE 2	1.0	0.5
CASE 3	10.0	5.0
CASE 4	1.0	1.0

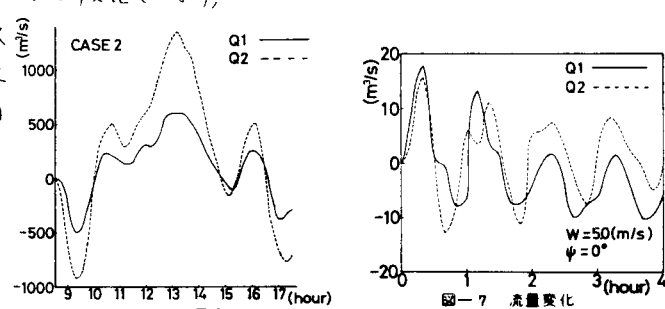
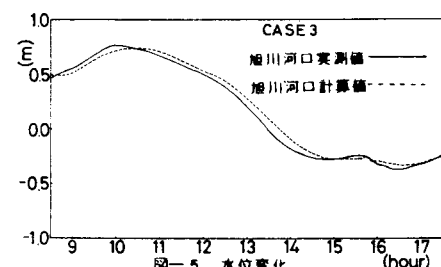
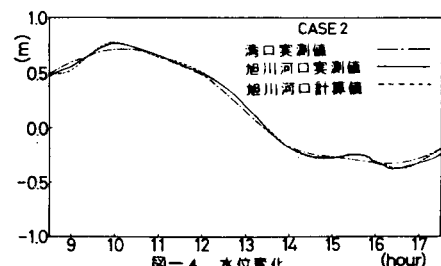
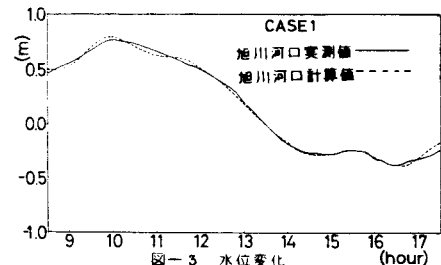


図-6 流量変化

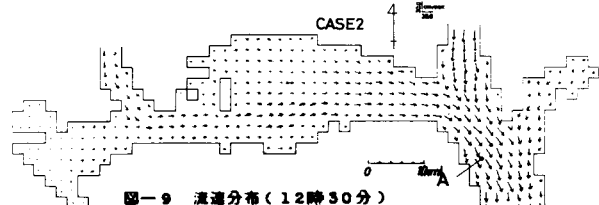


図-7 流速変化

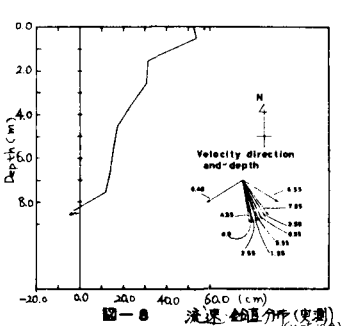


図-8 流速鉛直分布(実測)(2時分)

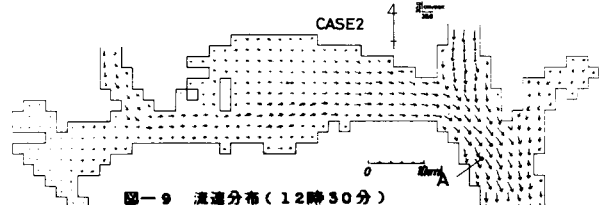


図-9 流速分布(12時30分)